



FAG

23230-E1A-XL-K-M-C3

Rodamiento oscilante de rodillos

Rodamientos oscilantes de rodillos 232...-E1A-K, medidas principales según DIN 635-2, con agujero cónico, conicidad 1:12

X-life

Información técnica

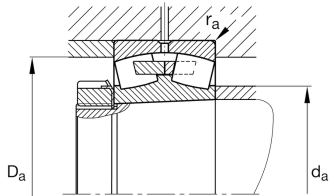


Variante de su producto actual

Ejecución	E1A	Sin borde central
Tipo de agujero	K	Cónico, conicidad 1:12
Jaula	M	Jaula de latón
Juego radial del rodamiento	C3 (Group 3)	Internal clearance larger than CN
Función de relubricación	Norma	Estándar

Medidas principales y datos de rendimiento

d	150 mm	Diámetro del agujero
D	270 mm	Diámetro exterior
B	96 mm	Anchura
C _r	1.280.000 N	Capacidad de carga dinámica, radial
C _{0r}	1.660.000 N	Capacidad de carga estática, radial
C _{ur}	133.000 N	Límite de carga por fatiga, radial
n _G	2.400 1/min	Velocidad límite de rotación
n _{gr}	1.400 1/min	Velocidad de referencia
m	22,883 kg	Peso





Medidas de montaje

$d_{a \min}$	164 mm	Diámetro mínimo resalte del eje
$D_{a \max}$	256 mm	Diámetro máximo del resalte del alojamiento
$r_{a \max}$	2,5 mm	Radio máximo de la ranura
$d_{a \max}$	174 mm	Diámetro máximo del resalte del eje
$d_{b \min}$	163 mm	Diámetro mínimo de la cavidad del casquillo
$B_{a \min}$	20 mm	Anchura mínima de la cavidad del casquillo

Medidas

r_{\min}	3 mm	Medidas mínimas del chaflán
D_1	232,6 mm	Diámetro del agujero del anillo exterior
d_s	6,3 mm	Diámetro del agujero de engrase
n_s	12,2 mm	Anchura de la ranura de lubricación

Rango de temperatura

T_{\min}	-30 °C	Temperatura mín. de funcionamiento
T_{\max}	200 °C	Temperatura máx. de funcionamiento

Factores de cálculo

e	0,33	Valor límite de F_a/F_r para la aplicabilidad de dif. Valores de los factores X e Y
Y_1	2,02	Factor de carga axial dinámica
Y_2	3	Factor de carga axial dinámica
Y_0	1,97	Factor de carga axial estática

Información adicional

H2330	Manguito de fijación
AHX3230G	Manguito de desmontaje



Características

-  Carga radial
-  Carga axial en un sentido
-  Carga axial en ambos sentidos
-  Lubricación con grasa
-  Lubricación con aceite
-  No obturado
-  Errores de alineación estáticos
-  Errores de alineación dinámicos